

سنگ‌شناسی، ژئوشیمی و جایگاه زمین‌ساختی مجموعه‌ی گرانیتوئیدی رودره (جنوب بیرجند)

سید سعید محمدی*

دانشگاه بیرجند، دانشکده علوم، گروه زمین‌شناسی

(دریافت مقاله: ۸۸/۱۲/۱۶، نسخه نهایی: ۸۹/۷/۲۸)

چکیده: توده‌ی گرانیتوئیدی رودره در جنوب بیرجند در کنار دیابازهای کرتاسه فوقانی رخمنون دارد. ترکیب سنگ‌شناسی آن شامل توپولیت تا گرانبودیوریت و گرانیت است. کانی‌های مهم سازنده، عبارتند از پلازیوکلاز، کوارتز، فلدسپار قلیایی، هورنبلند و بیوتیت. شواهد عدم تعادل نظیر منطقه‌بندی نوسانی در پلازیوکلازها، خوردگی حاشیه‌ی هورنبلند و حضور ادخال‌هایی از پلازیوکلاز درون بعضی از بلورهای ارتوز مشاهده می‌شود. گرانیتوئید رودره آهکی-قلیایی، پیاسیم پایین تا متوسط، متاآلومین تا اندکی پرآلومین و دارای خاستگاه آذرین (I) است. این سنگ‌ها تهی‌شدگی عناصر با شدت میدان بالا نظیر Nb , Y , P , Ti , Yb و تا حدودی Ta را نشان می‌دهند که بیانگر وابستگی آن‌ها به جایگاه زمین‌ساختی وابسته به فروزانش است. بی‌هنجاری منفی یادشده می‌تواند ناشی از آغشته‌گی و آمیزش ماقما با مواد پوسته‌ای حین صعود و جایگزینی آن در مناطق فروزانش باشد. این سنگ‌ها دارای غنی‌شدگی عناصر نادر خاکی سبک (LREE)، فقیرشدگی عناصر نادر خاکی سنگین (HREE) و بی‌هنجاری منفی کم $\text{Eu}^{*} = 0.71 - 0.97$ (Eu/Eu*) هستند. غنی‌شدگی نمونه‌ها از LREE و فقیرشدگی آن‌ها از HREE نیز بیانگر ماقماتیسم نفوذی متاآلومین نوع I کمان‌های آتشفسانی حاشیه قاره‌ها است. اختصاصات مذکور می‌تواند بیانگر منشاء گرفتن ماقما از پوسته‌ی اقیانوسی فروزانده شده و گوه گوشته‌ای دگرنهاد روی آن، حاصل فرایند تبلور تفریقی و نیز هضم و آلایش ماقما با مواد پوسته‌ای و باقی ماندن عناصر نادر خاکی سنگین در سنگ منشا باشد. نمودارهای جدا کننده محیط‌های زمین‌ساختی نیز جایگاه گرانیتوئیدهای کمان آتشفسانی (VAG) و غنی‌شدگی زون فروزانش را برای آن تایید می‌کند. سنگ‌های گرانیتوئیدی رودره دارای $\text{Sr}/\text{Y} = 110 - 261 \text{ ppm}$ و نسبت Y/Sr پایین بوده و در نمودار Y/Sr نسبت به Y ، اغلب آن‌ها در گستره‌ی سنگ‌های آهکی-قلیایی معمولی قرار می‌گیرند و با آداکیت‌ها تفاوت دارند.

واژه‌های کلیدی: رودره، بیرجند، گرانیتوئید، ژئوشیمی، جایگاه زمین‌ساختی.

گرانیتوئیدهایی که از نظر ترکیبی و سنی خوب شناخته شوند می‌توانند به گسترش و تکمیل اطلاعات لازم از با پوسته‌ی قاره‌ای کمک کنند [۱۰]. در خلال کرتاسه بالایی تا اواخر ترشیری در بخش‌های گسترده‌ای از زون‌های ساختاری ایران به خصوص سنتدج-سیرجان، ارومیه-دختر، ایران مرکزی، البرز-آذربایجان و شرق ایران، توده‌های نفوذی گرانیتوئیدی

مقدمه
گرانیتوئیدها سازنده‌ی اصلی کمربندهای برخورده بوده و به دلیل ترکیب‌هایی با خاستگاه، و شرایط ذوب متفاوت، برهم کنش‌های فیزیکی و شیمیایی پیچیده‌ی بین ماقماهای مافیک و فلزیک، تبلور تفریقی و آلودگی پوسته‌ای دارای تنوع ترکیبی گسترده‌ای هستند [۹-۱]. بهمین دلیل

واحدهای سنگی در گسترهی نقشه زمین‌شناسی مختاران، بیانگر حضور مجموعه‌های سنگی مجزا در بخش‌های جنوبی و شمالی نقشه بوده که موید پیوستگی بین کمربند فلیش و آمیزه‌ی افیولیتی شرق ایران با بلوك لوت است. بخش بیشتر مجموعه‌ی جنوبی را آمیزه‌ای از بلوك‌های آذرین، سنگ‌های رسوبی و دگرگونی تشکیل می‌دهد. سازنده‌های آذرین شامل سنگ‌های اولترابازی (بیشتر عبارتند از پریدوتویت سرپانتینیزه شده و سرپانتینیت)، دیابازها و توف‌های دیابازی. سنگ‌های رسوبی آمیزه شامل شیل‌های آرژیلیتی و سیلتی و ماسه سنگ سازنده‌های توالی فلیش) هستند. به سمت جنوب و با نزدیک شدن به بلوك لوت مجموعه‌ای از سنگ‌های دگرگون درجه‌ی پایین تا متوسط وجود دارد. مجموعه‌های فلیش و آمیزه‌ی رنگین منطقه بر اساس حضور فرامینیفرهای کرتاسه پسین در برخی سنگ‌های سازنده و نبود فسیل‌های قدیمی‌تر به کرتاسه فوقانی نسبت داده می‌شوند [۱۲]. ارتفاعات بخش شمالی نقشه را فیلیت (کرتاسه فوچانی و قدیمیتر؟)، دیابازها (کرتاسه فوچانی)، مارن و ماسه سنگ، کنگلومرا، سنگ آهک نومولیتی و مجموعه‌هایی از سنگ‌های آتشفسانی همراه آذر-آواری‌ها و نفوذی‌های گرانیتوئیدی (پالثوزن) تشکیل می‌دهند. روندهای ساختاری متعددی در گسترهی مورد بررسی دیده می‌شوند، ولی مهم‌ترین پهنه‌های گسلی در راستای خاوری- باختی قرار گرفته‌اند. نقش موثر مولفه‌ی قائم و عملکرد راندگی در پهنه‌های گسلی خاوری- باختی منطقه سبب راندگی فیلیت‌های کرتاسه فوچانی بر روی واحدهای پالثوزن شده است [۱۲] (شکل ۲). برخورد روندهای شمال خاوری- جنوب باختی و شرقی- غربی باعث شده تا بلوك‌های گسلی در مقیاس کوچک و بزرگ مشاهده شوند، به طوری که توده‌ی گرانیتوئیدی مورد بحث نیز در محل یکی از بلوك‌های گسلی واقع شده است. دنباله‌ی خاوری این پهنه‌های گسلی در بیرون از منطقه‌ی مورد بررسی دستخوش تغییر شده و به روند شمال غربی- جنوب شرقی و در پایان به روند شمالی-جنوبی (روند اصلی در پهنه‌ی ساختاری سیستان) می‌پیوندد. چنانکه در نقشه‌ی زمین‌شناسی منطقه (شکل ۲) و شکل ۳ الف دیده می‌شود، سنگ‌های درونگیر توده‌ی گرانیتوئیدی، دیابازهای وابسته به کرتاسه بالایی [۱۶] هستند. شواهد صحرایی حضور تزیق‌هایی از گرانیتوئید به درون دیابازها را نشان می‌دهد (شکل ۳ ب) که دلیل آشکاری مبنی بر جوان‌تر بودن این گرانیتوئیدها نسبت به

آهکی- قلیایی به‌شکل‌های مختلف همزمان- تا خیری تا پس از برخورد تشکیل شده‌اند [۱۱]. توده‌ی گرانیتوئیدی رودره در فاصله‌ی ۹۵ کیلومتری جنوب بیرجند (یک کیلومتری شمال رostتای رودره) در گسترهی نقشه‌ی زمین‌شناسی ۱:۱۰۰۰۰۰ مختاران قرار گرفته است و دارای موقعیت جغرافیایی $۱۸^{\circ} ۳۲' \text{ تا } ۲۲^{\circ} ۵۹'$ طول شرقی است. پیرامون توده‌ی مورد بحث تاکنون بررسی‌های سنگ‌شناسی گسترهای صورت نگرفته و اطلاعات اندک درباره آن تا سال‌های اخیر به نقشه‌ی زمین- شناسی ۱:۱۰۰۰۰ مختاران [۱۲] محدود بوده است. محمدی [۱۳] هنگام بررسی گرانیتوئیدهای موجود در نوار افیولیتی شرق ایران، این توده را مورد بررسی مقدماتی قرار داده، و به مقایسه‌ی ویژگی‌های ژئوشیمیایی و سنگ‌شناسی آن با توده‌های مورد اشاره پرداخته است. هدف از این پژوهش شناسایی دقیق ویژگی‌های سنگ‌شناسی، ژئوشیمی، خاستگاه و محیط زمین‌ساختی تشکیل توده‌ی گرانیتوئیدی رودره است.

روش بررسی

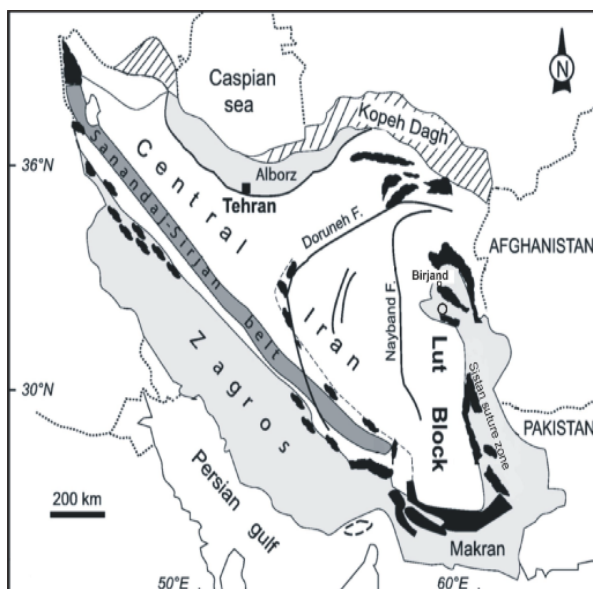
این پژوهش بر مبنای مشاهدات صحرایی، بررسی مقاطع نازک، تجزیه‌ی شیمیایی نمونه‌ها و تعبیر و تفسیر آن‌ها انجام شده است. برای این منظور تعداد ۴۰ نمونه از سنگ‌های توده‌ی گرانیتوئیدی رودره به‌صورت سیستماتیک نمونه برداری شدند و از آن‌ها مقاطع نازک تهیه و مورد بررسی قرار گرفتند. نتایج آنالیز عناصر اصلی و کمیاب به‌روش XRF برای ۵ نمونه از سنگ‌های این توده از کارهای قبلی [۱۳] در دسترس بودند. تعداد ۷ نمونه از نمونه‌هایی که حداقل دگرسانی را نشان می‌دادند انتخاب، و در آزمایشگاه SGS کانادا به روش ICP (برای عناصر اصلی) و ICP-MS (برای عناصر کمیاب و نادر خاکی) آنالیز شدند.

زمین‌شناسی منطقه

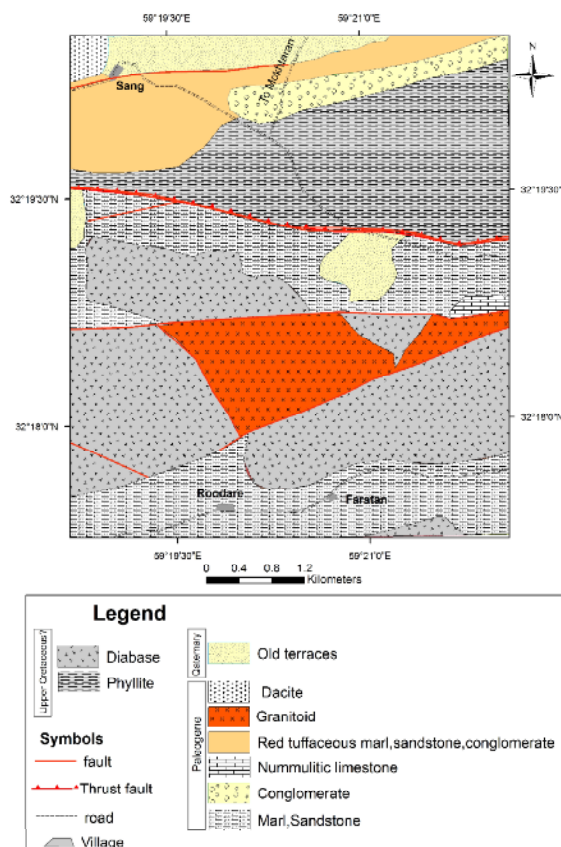
گسترهی مورد بررسی در انتهای شمال غربی زون زمیندرز سیستان [۱۴] یا زون زابل-بلوج [۱۵] و حاشیه‌ی شرقی پهنه‌ی لوت قرار دارد (شکل ۱). به نظر تیروول و همکاران [۱۴] ایالت ساختاری سیستان زمیندرز ناشی از برخورد پهنه‌ی لوت با بلوك افغان است. باریکه‌ی اقیانوسی موجود بین این دو ورق قاره‌ای در اثر حرکت لوت به سمت خاور و فرو رفتن به زیر بلوك افغان، بسته شده و ادامه فرورانش منجر به برخورد پهنه‌ی لوت به بلوك افغان (اولیگو- میوسن) شده است. بررسی

بوده و به نظر می‌رسد که از رخساره‌های حاشیه‌ای توده‌ی گرانیتوئیدی هستند. در متن این توده، برونویوم‌های تیره با اندازه‌های مختلف مشاهده می‌شوند (شکل ۳ پ).

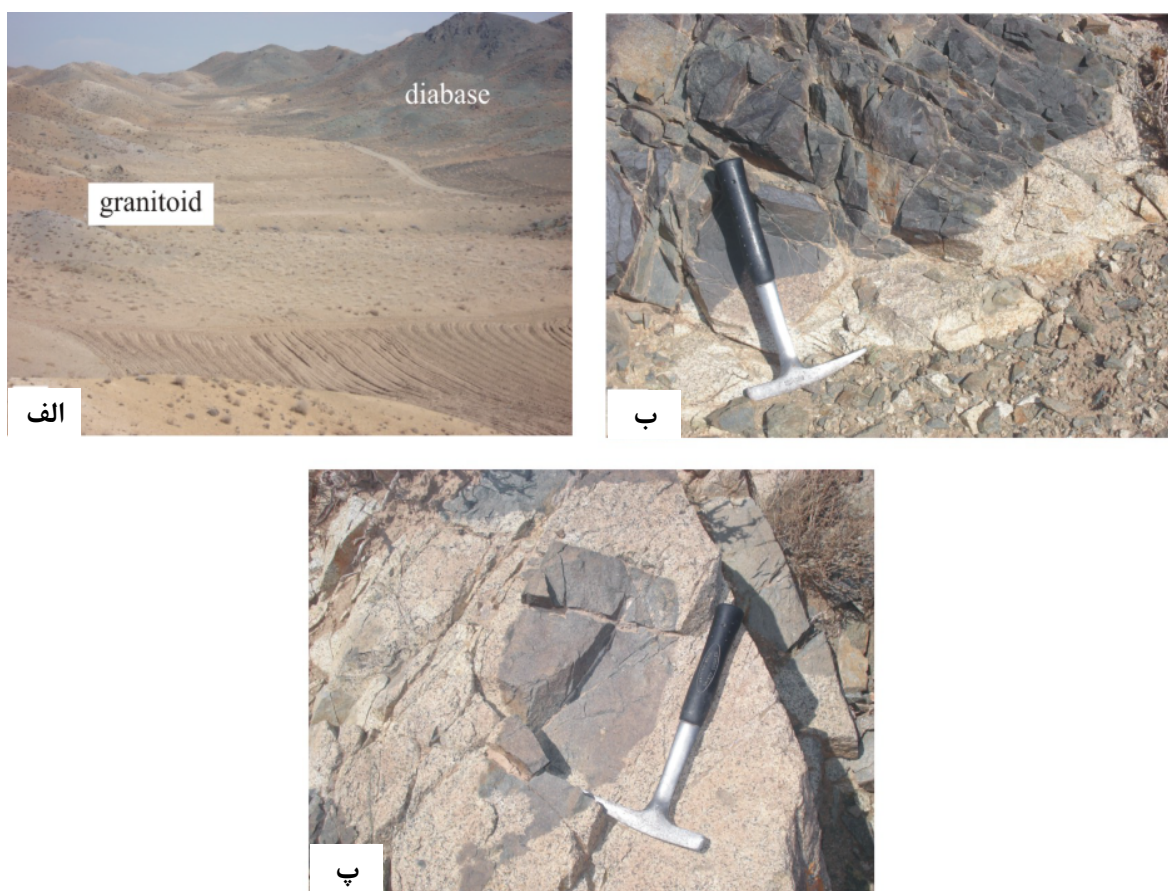
سنگ‌های دیابازی کرتاسه بالایی است. در حاشیه‌ی غربی توده‌ی گرانیتوئیدی، سنگ‌های آفانیتیک بهرنگ خاکستری روشن وجود دارند که بر اساس بررسی‌های سنگ‌شناسی، ریوداسیت



شکل ۱ نقشه‌ی ساده تقسیمات ساختاری ایران [۱۵] با اندکی تغییر؛ گستره‌ی مورد بررسی با دایره نشان داده شده است.



شکل ۲ نقشه‌ی زمین‌شناسی منطقه‌ی مورد بررسی [۱۲]؛ با اصلاحات و ترسیم دوباره.



شکل ۳ (الف) مرز گرانیتوئید با دیابازها در حاشیه‌ی جنوب شرقی توده‌ی گرانیتوئیدی (دید به شمال شرقی) ب) تزریق مذاب گرانیتی به درون دیابازها پ) حضور برونبوم‌های مافیک درون گرانیتوئید.

رسی تجزیه شده‌اند. در برخی نقاط مجموعه‌هایی از کانی‌های گروه اپیدوت و گاهی کربنات نیز مشاهده می‌شوند که احتمالاً حاصل دگرسانی پلازیوکلازها هستند. بلورهای بی‌شکل کوارتز حدود ۲۰ درصد حجمی سنگ را اشغال کرده‌اند. ارتوكلاز به مقدار بسیار کم بین کانی‌ها وجود دارد که به کانی‌های رسی تجزیه شده است.

کانی‌های تیره عبارتند از: آمفیبول نوع هورنبلند که بهندرت به صورت بلورهای شکل‌دار (شکل ۴ ب) و اغلب بی‌شکل در حدود ۵ درصد حجمی سنگ را تشکیل داده‌اند که در برخی نقاط به مجموعه‌ای از اپیدوت و کلریت تجزیه شده‌اند. بیوتیت به صورت بلورهای نیمه شکل‌دار تا بی‌شکل بوده و در اثر دگرسانی به کلریت (نوع پنین با رنگ آبی غیر عادی) و کانی کدر بی‌شکل تبدیل شده است. درون برخی بیوتیت‌های کلریتی شده، ادخال‌هایی از زیرکن با هاله‌ی رادیواکتیو قهقهه‌ای مشاهده می‌شوند. مقدار بیوتیت در حدود ۵-۸ درصد حجمی سنگ

سنگ‌شناسی

سنگ‌های توده‌ی نفوذی مورد بحث رنگ خاکستری روشن گاهی مایل به سبز و صورتی و بافت تمام بلورین دانه متوسط تا درشت دانه دارند. این توده دارای ترکیب متغیر از تونالیت تا گرانودیوریت و آپلیت گرانیت است. ویژگی‌های سنگ‌شناسی این سنگ‌ها به شرح زیراند:

تونالیت: این سنگ بیشتر در بخش‌های حاشیه‌ای توده وجود دارد، و دارای بافت‌های دانه‌ای (گرانیتی) و گاهی میرمکیتی بوده و اندازه‌ی بلورها از چند دهم میلیمتر تا حدود ۴ میلیمتر تغییر می‌کند. کانی‌های روشن عبارتند از: پلازیوکلاز که به صورت نیمه شکل‌دار تا بی‌شکل با ماکل آلبیتی بوده و ترکیب الیگوکلاز- آندزین دارند. در برخی از بلورها، منطقه‌بندی نوسانی دیده می‌شود (شکل ۴ الف) که از جمله بافت‌های عدم تعادل است [۱۷]. مقدار این کانی حدود ۵۵-۶۰ درصد حجمی سنگ است. اغلب بلورهای پلازیوکلاز به سریسیت و کانی‌های

قطع کرده است. میزان کانی‌های مافیک آن به طرز چشم‌گیری کمتر از سنگ‌های میزبان است. بافت آپلیتی، گرافیک (شکل ۴) و گاهی پرتیتی دارد. بافت گرافیک در اثر همرشدی کوارتز و فلدسپار قلیایی در شرایط محدود دما و یا محتوای آب به وجود می‌آید [۲۲]. کانی‌های روشن عبارتند از: کوارتز به صورت بلورهای بی‌شکل (حدود ۲۵ درصد)، فلدسپار قلیایی از نوع ارتوکلاز و ارتوکلاز پرتیتی (حدود ۴۰-۴۵ درصد حجم سنگ)، پلازیوکلاز (حدود ۳۵-۴۰ حجم سنگ) به صورت بلورهای نیمه شکل دار تا بی‌شکل دارای ماکل آلبیتی بوده و ترکیب آن‌ها آلبیت-الیگوکلاز است. دگرسانی ارتوکلاز به کانی‌های رسی و پلازیوکلازها به کانی‌های رسی و سریسیت معمول است. کانی تیره‌ی سنگ شامل مقادیر کمی بیونیت (کمتر از ۵ درصد) است که در اثر دگرسانی به کلریت، اسفن و کانی کدر و گاهی اپیدوت تبدیل شده است. اسفن اولیه همراه با کانی کدر به عنوان کانی فرعی به شمار می‌آیند.

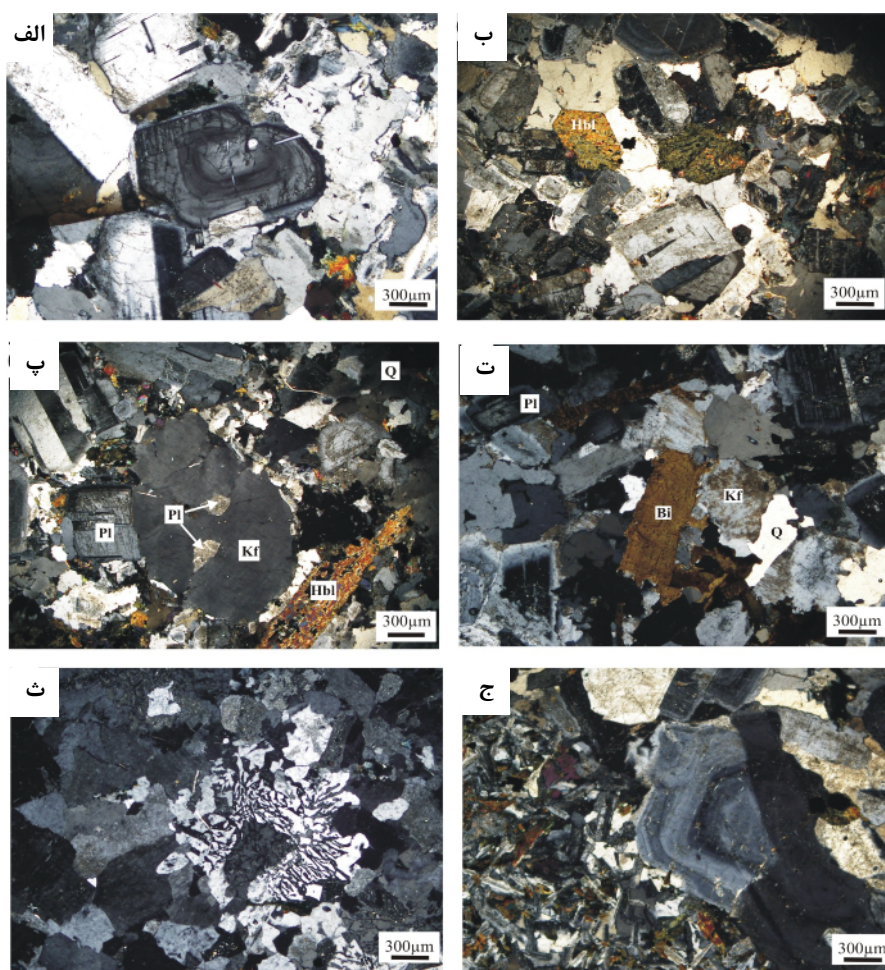
برونبوم‌های ماجمایی مافیک (برونبوم‌های ریز دانه‌ی مافیک): برونبوم‌های ماجمایی مافیک شواهدی از نقش ماجمایی مافیک در خاستگاه و تکامل ماجمایی گرانیت‌وئیدی آهکی-قلیایی و برهم کنش بین پوسته‌ی قاره‌ای و گوشه‌های را به اثبات رسانده و به این ترتیب خاستگاه آن‌ها اهمیت زیادی در شناخت گذشته‌ی توده‌های گرانیت‌وئیدی دارد [۲۳، ۲۴]. برونبوم‌های موجود در گرانیت‌وئیدی رودره با ابعاد مختلف و به رنگ سبز تیره با مرزهای مشخص در متن این سنگ‌ها وجود دارند، به طوری که در مقاطع نازک نیز مرز بخش گرانیت‌وئیدی با برونبوم‌ها کاملاً تند است (شکل ۴ ج). بافت آن‌ها ریز دانه‌ای است، و کانی‌های تشکیل دهنده‌ی آن عبارتند از: پلازیوکلاز ۶۰-۷۰ بتصورت بلورهای نیمه‌شکل دار تا بی‌شکل (حدود ۶۰-۷۰ درصد)، آمفیبول با بلورهای نیمه‌شکل دار تا بی‌شکل (حدود ۲۰-۲۵ درصد) و بیوتیت (حدود ۵ درصد) که تقریباً به طور کامل به کلریت و اسفن و گاهی اپیدوت تبدیل شده و کوارتز (حدود ۵ درصد). کانی کدر و اسفن، کانی‌های فرعی سنگ به شمار می‌آیند. این سنگ بر اساس بافت و ترکیب کانی‌شناسی، میکرودیوریت تا کوارتز میکرودیوریت است. یکی از نکات قابل توجه در مرز برونبوم‌ها با سنگ‌های میزبان، حضور شواهد عدم تعادل در کانی‌هاست که از آن جمله می‌توان به منطقه‌بندی نوسانی در پلازیوکلازهای تونالیت (شکل ۴ ج)، خوردگی حاشیه‌ی هورنبلند و حضور ادخال‌های پلازیوکلاز درون فلدسپار قلیایی در گرانودیوریت‌های میزبان اشاره کرد.

است. کانی‌های فرعی شامل زیرکن و کانی کدر است که به صورت ادخال‌هایی در بیوتیت و گاهی آمفیبول وجود دارند. آپاتیت و بلورهای ریز اسفن، دیگر کانی‌های فرعی سنگ هستند.

گرانودیوریت: این سنگ بخش اصلی توده‌ی گرانیت‌وئیدی رودره را تشکیل داده است، و دارای بافت‌های هیپیدیومورف دانه‌ای و پرتیتی بوده، و اندازه‌ی بلورها از چند دهم میلیمتر تا حدود ۴ میلیمتر متغیر است. کانی‌های روشن عبارتند از: پلازیوکلاز که به صورت بلورهای نیمه شکل دار تا بی‌شکل با ماکل آلبیتی بوده و در برخی بلورها ساختار منطقه‌ای دارند. ترکیب پلازیوکلازهای سنگ در حد آلبیت-الیگوکلاز است. این کانی حدود ۵-۶ درصد حجمی سنگ را به خود اختصاص داده است. پلازیوکلازها در اثر دگرسانی به کانی‌های رسی و سریسیت تجزیه شده‌اند. کوارتز به صورت بلورهای بی‌شکل، حدود ۲۰-۲۵ درصد حجمی سنگ را تشکیل می‌دهد. فلدسپار قلیایی از نوع ارتوکلاز (حدود ۱۰-۱۵ درصد حجمی سنگ) است (شکل ۴ پ) که بی‌شکل تا نیمه شکل دار بوده، دگرسانی آن از کانی‌های رسی معمول است. درون بعضی از بلورهای ارتوکلاز ادخال‌هایی از پلازیوکلاز دیده می‌شوند (شکل ۴ پ) که می‌تواند حاکی از اختلاط ماجمایی باشد [۱۷].

کانی‌های تیره عبارتند از: بیوتیت (حدود ۷-۸ درصد حجمی سنگ) که بلورهای نیمه شکل دار تا بی‌شکل (شکل ۴ پ) و رنگ قهوه‌ای روشن تا قهوه‌ای تیره و گاهی سیاه نشان می‌دهند. این ویژگی یکی از سرشتی‌های مهم گرانیت‌های نوع I است [۱۹، ۱۸]. برخی از بلورها دارای ادخال‌هایی از زیرکن و آپاتیت هستند. دگرسانی آن به کلریت و کانی کدر معمول است. تبدیل بیوتیت به کلریت طی واکنش‌های گرمایی در دمای ۳۳۰-۳۴۰ درجه سانتی‌گراد صورت می‌گیرد [۲۰]. در حاشیه‌ی برخی بلورهای آمفیبول نیز بیوتیت (ثانویه) مشاهده می‌شود. بررسی‌های تجربی نشان داده‌اند که بیوتیت‌شدن هورنبلند آذرین اولیه در گستره‌ی دمایی ۳۰۰ تا ۵۰۰ درجه سانتی‌گراد در فشار ۱kb گاز آرگن کامل می‌شود [۲۱]. بلورهای بی‌شکل آمفیبول (شکل ۴ پ) کمتر از ۵ درصد حجمی سنگ را تشکیل می‌دهد. کانی‌های فرعی شامل مقدار قابل توجهی کانی کدر، زیرکن و آپاتیت است که به صورت ادخال‌هایی در بلور بیوتیت دیده می‌شوند.

آپلیت گرانیت: این سنگ در نمونه دستی به رنگ صورتی و نسبتاً ریزدانه بوده، به حالت دایک مانند، واحدهای قبلی را



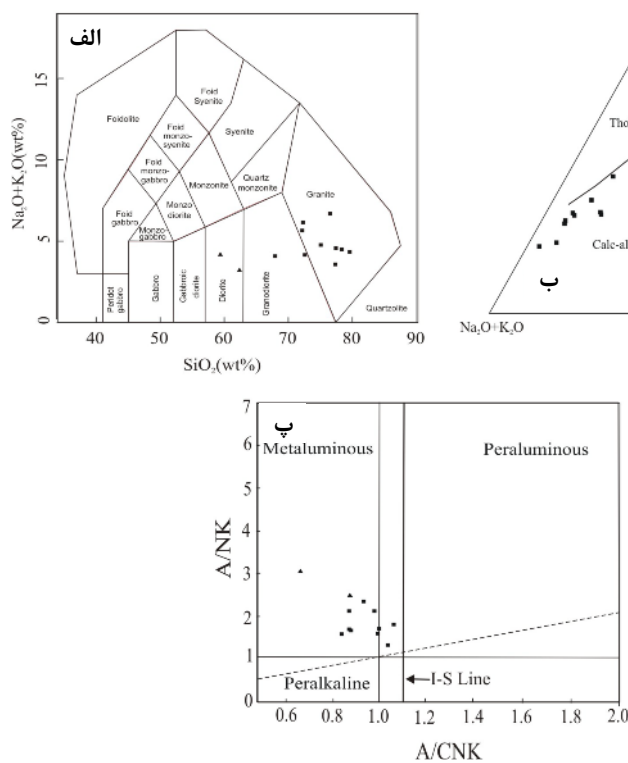
شکل ۴ تصاویر میکروسکوپی از سنگ‌های گرانیت‌وئیدی رودره (الف) پلازیوکلاز با منطقه‌بندی نوسانی در تونالیت (ب) هورنبلند شکل دار در تونالیت (پ) پلازیوکلاز، ارتوکلاز با ادخال پلازیوکلاز، هورنبلند و کوارتزیت (ت) بیوتیت، ارتوکلاز و پلازیوکلاز با منطقه‌بندی در گرانودیبوریت (ث) بافت گرافیک در آپلیت گرانیت (ج) مرز برونبیوم ماقمایی مافیک (چپ) با تونالیت میزبان (راست) و منطقه‌بندی نوسانی در پلازیوکلازهای تونالیت (نور در شکل‌ها XPL است).

[۳۰، ۲۹] ماقمایی آهکی- قلیایی حاصل اختلاط ماقمایی ریشه گرفته از گوشته و پوسته‌اند. گرانیت‌های نوع I نسبت به نوع S حاوی پتانسیم کمتری بوده [۱۹] و از سوی دیگر محتوای سدیم گرانیت‌های نوع I و S به ترتیب شامل مقادیر نسبتاً بالا و پایین است [۳۱]. نتایج آنالیز ژئوشیمیایی نمونه‌ها (جدول ۱) حاکی از مقادیر پایین K_2O در بیشتر نمونه‌ها (۰/۱۸-۲/۷۷) و مقادیر نسبتاً بالای Na_2O در اغلب نمونه‌ها (۲/۴۲-۴/۳۹) هستند. یکی از ویژگی‌های مهم گرانیت‌وئیدهای نوع I مقادیر نسبتاً بالای Na_2O در آن‌ها (بیش از ۳/۲ در سنگ‌های فلزیک و بیش از ۲/۲ در سنگ‌های مافیک) است [۳۲، ۳۱، ۲۸]. ذوب بخشی سنگ‌های بازالتی و سنگ‌های دیگر با پتانسیم پایین اصولاً ایجاد مذاب‌های سدیک نظریه تونالیت‌ها،

ژئوشیمی

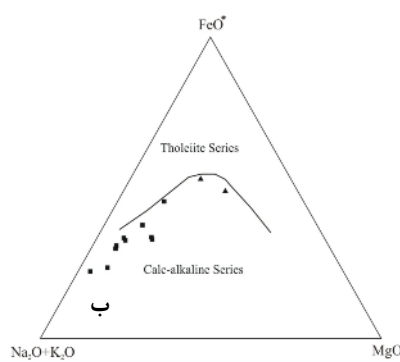
نتایج آنالیزهای ژئوشیمیایی عناصر اصلی و کمیاب نمونه‌های مورد بررسی در جدول ۱ آورده شده‌اند. در نمودار طبقه‌بندی ژئوشیمیایی [۲۵]، سنگ‌های گرانیت‌وئیدی رودره در گستره‌ی گرانیت و گرانودیبوریت و نمونه‌های وابسته به برونبیوم‌های ماقمایی در قلمرو دیبوریت قرار گرفته‌اند (شکل ۵ الف). این سنگ‌ها در نمودار AFM [۲۶] در قلمرو آهکی- قلیایی قرار گرفته‌اند (شکل ۵ ب). نتایج محاسبه‌ی شاخص اشبع از آلومینیم بیانگر مقادیر ASI پایین این سنگ‌ها بوده به‌طوری که در نمودار A/NK A/CNK A/NK نسبت به [۲۷] متابالومین تا اندکی پرآلومین و براساس تفکیک گرانیت‌وئیدهای توسعه [۲۸] در گروه گرانیت‌های نوع I قرار گرفته‌اند (شکل ۵ ب). به اعتقاد

منفی P و Ti به سمت گرانیت بیشتر شده (شکل ۶ الف و ب) که به جدایش آپاتیت و تیتانومگنتیت مربوط می‌شود. مقادیر بالای Rb, Th, K و پایین P, Ti در گرانوودیوریت-گرانیت‌های مورد بررسی، قابل مقایسه با مذاب‌های پوسته‌ای بوده [۴۰، ۳۹، ۱۹] و می‌تواند بیانگر آلودگی ماقما در پوسته‌ی فوکانی طی تکامل ماقما باشد. نمودار فراوانی REE بهنجارشده با کندریت [۳۶] برای گرانیت‌وئید مورد بررسی بیانگر تفرقی یافته‌ی عناصر نادر خاکی سبک ($\text{La/Yb}_{\text{N}} = ۱۱/۰۵$)، الگوی تفرقی نیافته عناصر نادر خاکی سنگین (HREE) و بی-هنجری منفی کم ($\text{Eu/Eu}^* = ۰/۷۱ - ۰/۹۷$) است (شکل ۷). در گرانیت، LREE نسبت به HREE کم بوده (شکل ۷ الف) و در گرانیت، HREE تهی‌شده بیشتری نسبت به تونالیت و گرانوودیوریت نشان می‌دهند (شکل ۷ ب) که می‌تواند به تبلور هورنبلند در فازهای مافیک‌تر وابسته باشد. تهی‌شده‌گی ضعیف عناصر نادر خاکی متوسط (MREE) در گرانیت (شکل ۷ ب) منطبق با جدایش اسفن و آپاتیت است [۴۱، ۴۲]. بی‌هنجری منفی Eu حداکثر از این است که یا فلدوپات‌ها یک فاز مهم در باقی مانده‌ی ذوب نشده بوده یا در فرایند تفرقی درگیر شده‌اند [۱۷].



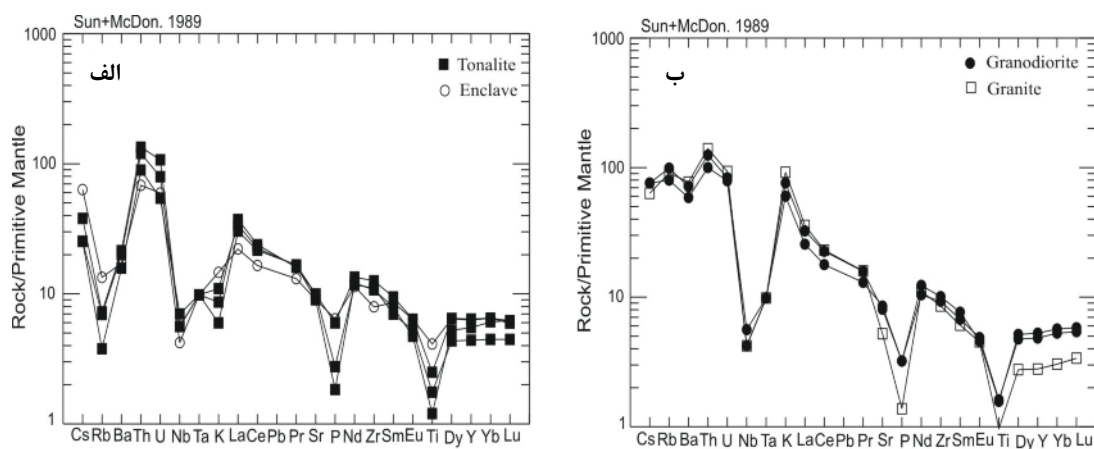
شکل ۵ نمودارهایی از ویژگی‌های ژئوشیمیایی گرانیت‌وئید رودره. (الف) نامگذاری شیمیایی [۲۵] ب) نمودار AFM [۲۶] پ) نمودار A/CNK نسبت به A/NK [۲۷]، مرز گرانیت‌های I و S از [۲۸]؛ نشانه‌ها عبارتند از: مربع: گرانیت‌وئید متلت؛ برونبوم

ترونجمیت‌ها و گرانوودیوریت‌های سدیک دانه‌داری می‌کنند [۳۵، ۳۴، ۳۳، ۲۴]. نمودار عنکبوتی چند عنصری بهنجارشده با گوشته‌ی اولیه [۳۶] برای سنگ‌های گرانیت‌وئیدی مورد بررسی در شکل ۶ الف و ب نشان داده شده است. تمام نمونه‌ها تهی‌شده‌گی P, Ti و Ta حدودی Sr را نشان می‌دهند. میزان Rb و Ba برای تونالیت‌ها و برونبوم‌های میکروودیوریتی پایین بوده (شکل ۶ الف)، در حالی که گرانوودیوریت‌ها و گرانیت‌ها از این عناصر غنی شده‌اند (شکل ۶ ب). برخی از پژوهشگران، شاره‌ی غنی از کلر را عامل تهی‌شده‌گی ماقماهای کمان‌ها از عناصر با شدت میدان بالا و غنی‌شده‌گی آن‌ها از عناصر لیتوفیل بزرگ یون می‌دانند [۳۷]. از آنجا که عناصر لیتوفیل بزرگ یون از جمله عناصر متحرک در شاره‌اند، به راحتی با شاره‌ی دگرنهاد کننده‌ی آزاد شده از پوسته‌ی اقیانوسی فرورونده، شسته شده و به گوشته‌ی خاستگاه ماقماهای کمان‌ها حمل می‌شوند. در مقابل، عناصری که در شاره بی‌حرکتند، در این فرآیند مشارکت ندارند [۳۸]. غنی‌شده‌گی Th و U در تمام سنگ‌های گرانیت‌وئیدی رودره مشاهده می‌شود. در مقایسه با عناصر با شدت میدان بالا (Y, Sm, Zr, Ta, Nb)، عناصر نادر خاکی از این‌ها (Ce, La) غنی‌شده‌گی نشان می‌دهند. بی‌هنجری سبک (Ce, La) غنی‌شده‌گی نشان می‌دهند.

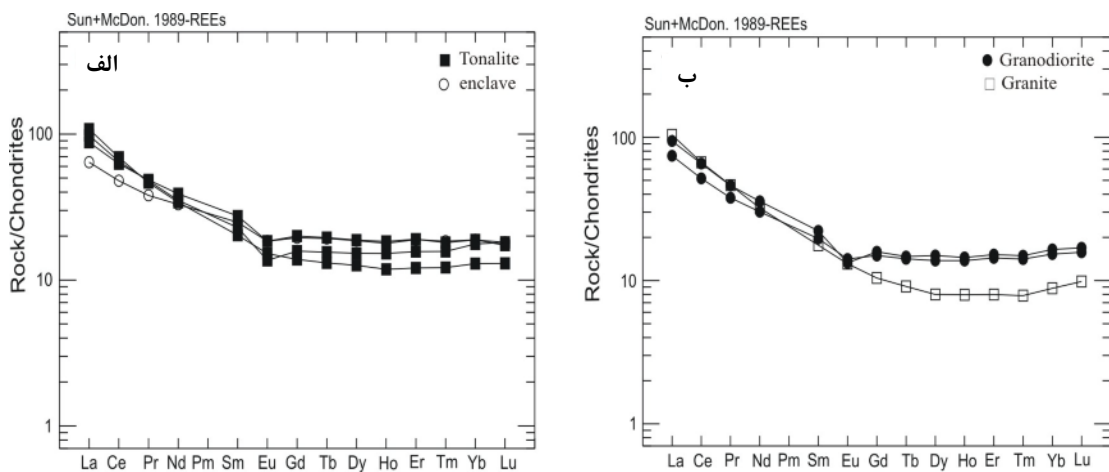


جدول ۱ نتایج آنالیز شیمیایی عناصر اصلی و کمیاب توده‌ی گرانیت‌وئیدی رودره (نتایج نمونه‌های ۱۴۴، ۱۴۷، ۱۵۴، ۱۴۵، ۱۴۶ از [۱۳])

Sample	RF-4	RF-7(e)	RF-8	RF-13	RF-15	RF-17	RF-18	RF-145	RF-146	RF-147	RF-154	RF-144(e)
SiO ₂ (wt%)	۷۳,۵۶	۵۷,۷	۷۱,۷۶	۷۵,۷۹	۶۶,۶	۷۱,۶۹	۷۱,۲۰	۷۵,۶۹	۷۷,۲۰	۷۸,۰۵	۷۶,۳۴	۵۹,۶۹
TiO ₂	۰,۲۶	۰,۸۹	۰,۳۸	۰,۲۱	۰,۵۴	۰,۳۴	۰,۳۵	۰,۲۷	۰,۲۵	۰,۱۹	۰,۳۴	۰,۵۷
Al ₂ O ₃	۱۲,۶۶	۱۵,۹	۱۴,۰۴	۱۲,۴۴	۱۵,۲	۱۴,۰۱	۱۳,۹۷	۱۰,۸۹	۱۰,۲۰	۱۰,۴۴	۹,۷۴	۱۲,۴۲
Fe ₂ O ₃ t	۲,۴۶	۸,۹۸	۳,۳۵	۲,۲۲	۴,۹	۳,۳۶	۳,۴۴	۲,۵۹	۲,۷۸	۱,۶۱	۳,۲۴	۷,۹۲
MnO	۰,۰۲	۰,۱۱	۰,۰۳	۰,۰۳	۰,۰۴	۰,۰۶	۰,۰۶	۰,۰۲	۰,۰۲	۰,۰۱	۰,۰۵	۰,۱۵
MgO	۰,۵۳	۳,۱۳	۰,۸۹	۰,۳۲	۱,۳۱	۰,۶۷	۰,۸۲	۱,۰۹	۰,۵۹	۰,۴۹	۱,۴۶	۴,۳۵
CaO	۲,۸۶	۶,۳۶	۴,۲۰	۱,۴۲	۵,۳۲	۲,۹۰	۳,۱۶	۳,۸۳	۲,۹۶	۲,۹۴	۲,۸۸	۷,۴۸
Na ₂ O	۴,۳۵	۲,۶	۳,۸۵	۲,۸۸	۳,۸۰	۳,۸۱	۳,۷۷	۲,۹۸	۲,۴۲	۳,۶۸	۲,۵۸	۲,۶۱
K ₂ O	۰,۳۳	۰,۴۴	۰,۲۶	۲,۷۷	۰,۱۸	۲,۲۹	۱,۸۱	۰,۵۲	۲,۰۰	۰,۵۶	۱,۹۴	۰,۴۷
P ₂ O ₅	۰,۰۴	۰,۱۴	۰,۰۶	۰,۰۳	۰,۱۳	۰,۰۷	۰,۰۷	۰,۰۷	۰,۰۵	۰,۰۴	۰,۰۸	۰,۱۲
LOI	۱,۳۳	۲,۰۱	۰,۹۷	۰,۷۵	۱,۳۳	۰,۶۵	۱,۰۱	۱,۰۸	۰,۷۳	۱,۵۲	۱,۱۰	۳,۶۶
Total	۹۹,۴۰	۹۹,۲۶	۹۹,۸۰	۹۹,۸۷	۹۹,۳۵	۹۹,۸۵	۹۹,۶۵	۹۹,۰۳	۹۹,۲۰	۹۹,۵۳	۹۹,۷۴	۹۹,۴۵
ASI	۱,۰۸	۰,۸۹	۱	۱,۰۶	۰,۹۵	۱,۰۵	۱,۰۱	۰,۸۸	۰,۸۹	۰,۸۸	۰,۸۵	۰,۸۸
Ba(ppm)	۱۵۰	۱۲۰	۱۴۰	۵۴۰	۱۱۰	۵۰۰	۴۱۰	۱۹	۶۴۱	۳۶	۳۹۵	۳۸
Rb	۴,۶	۱,۵	۴,۴	۵۷,۶	۲,۴	۶۲,۹	۵۰,۸	۱۶	۴۴	۲۲	۵۶	۱۹
Sr	۱۹۰	۱۹۰	۲۱۰	۱۱۰	۲۱۰	۱۷۰	۱۸۰	۲۴۲	۱۷۶	۱۹۱	۱۸۲	۲۶۱
Zr	۱۲۰	۸,۸۹	۱۲۴	۹۵,۸	۱۴۱	۱۱۳	۱۰۴	۹۲	۹۳	۱۱۳	۹۲	۵۳
Nb	۴	۳	۴	۳	۵	۴	۳	۲	۴	۴	۴	۲
Ni	۴	۴	۴	۴	۴	۴	۴	۴۰	۲۳	۷	۵۵	۱۲
Co	۳,۷	۲۰,۹	۶,۸	۲,۶	۸,۴	۳,۹	۴,۸	۳	۴	۲	۱	۱۴
Zn	۴	۲۲	۱۲	۱۴	۱۳	۲۶	۱۹	۲۲	۲۵	۲۰	۴۲	۴۲
Y	۲۵	۲۸,۶	۲۰	۱۲,۷	۲۹,۱	۲۴	۲۲	۱۳	۱۲	۱۷	۱۶	۱۵
Cs	۰,۳	۰,۵	۰,۲	۰,۵	۰,۲	۰,۶	۰,۶	۰,۴۹				۱,۳۴
Ta	۰,۴	۰,۴	۰,۴	۰,۴	۰,۴	۰,۴	۰,۴	۰,۱۸				۰,۳۲
Hf	۴	۳	۴	۳	۴	۳	۳	۲,۶۵				۳,۱۲
Th	۱۱,۴	۵,۸	۱۰,۲	۱۱,۹	۷,۶	۱۰,۶	۸,۵	۶	۱۰	۱۱	۵	۱
V	۲۲	۲۲,۲	۴۶	۱۱	۶۶	۲۲	۲۶	۳۷	۲۲	۲۷	۳۳	۱۵۰
U	۲,۲۵	۱,۲۵	۱,۶۷	۱,۹۶	۱,۱۴	۱,۷۵	۱,۶۶	۶	۸	۹	۹	۱
Ga	۱۴	۱۷	۱۴	۱۱	۱۶	۱۳	۱۳	۲۵	۲۴	۲۳	۱۸	۲۰
Cu	۴	۹	۴	۱۶	۸	۶	۶	۱	۱	۱	۱	۱
La	۲۲,۲	۱۵,۲	۲۵,۶	۲۴,۶	۲۰,۸	۲۲,۳	۱۷,۶	۵	۶	۱۸	۵	۲۰
Ce	۳۹,۸	۲۹,۳	۴۲,۴	۴۰,۹	۳۸,۳	۴۰,۱	۳۱,۶	۱۳	۱۵	۲۹	۱۰	۵۰
Pr	۴,۵۵	۳,۶۱	۴,۴۱	۴,۴	۴,۶۱	۴,۳۷	۳,۵۹					
Nd	۱۶,۴	۱۵,۴	۱۵,۹	۱۵	۱۸,۲	۱۶,۷	۱۴,۱		۸,۲			۱۳,۶
Sm	۳,۵	۳,۸	۳,۱	۲,۷	۴,۲	۳,۴	۳		۱,۶۱			۳,۲
Eu	۰,۷۹	۱,۰۷	۰,۸۸	۰,۷۶	۱,۰۷	۰,۷۷	۰,۸۲		۰,۸۲			۱,۰۳
Gd	۳,۲۴	۴	۲,۸۴	۲,۱۴	۴,۱۱	۳,۲۶	۳,۰۷					
Tb	۰,۵۸	۰,۷۲	۰,۴۹	۰,۳۴	۰,۷۳	۰,۵۵	۰,۵۲		۰,۲۳			۰,۷۶
Dy	۳,۸۷	۴,۷۳	۳,۲	۲,۰۳	۴,۷۷	۳,۸	۳,۵					
Ho	۰,۸۶	۱,۰۱	۰,۶۷	۰,۴۵	۱,۰۴	۰,۸۲	۰,۷۸		۰,۷۵			۰,۷۵
Er	۲,۵۹	۳,۱۳	۲	۱,۳۲	۳,۱۵	۲,۵۱	۲,۳۸					
Tm	۰,۴	۰,۴۷	۰,۳۱	۰,۲	۰,۴۶	۰,۳۸	۰,۳۶		۰,۶۸			۰,۸۳
Yb	۳	۳,۲	۲,۲	۱,۵	۳,۲	۲,۸	۲,۶		۱,۳			۲,۹۳
Lu	۰,۴۶	۰,۴۶	۰,۳۳	۰,۲۵	۰,۴۴	۰,۴۳	۰,۴		۰,۲۷			۰,۵۳
Eu/Eu*	۰,۷۲	۰,۸۴	۰,۹۱	۰,۹۷	۰,۷۹	۰,۷۱	۰,۸۲					
(La/Yb) _N	۵,۲	۳,۲	۷,۸۴	۱۱,۰۵	۴,۳۸	۵,۳۶	۴,۵۶					



شکل ۶ نمودارهای عناصر کمیاب بهنجارشده با گوشه‌ی اولیه [۳۶] برای سنگ‌های گرانیتوئیدی رودره.



شکل ۷ نمودارهای عناصر نادر خاکی بهنجارشده با کندریت [۳۶] برای سنگ‌های گرانیتوئیدی رودره.

جایگاه زمین‌ساختی وابسته به فرورانش است [۴۰، ۳۲، ۲۴، ۱۷]. بی‌亨جاری منفی یاد شده می‌تواند ناشی از آغشتگی و آمیزش ماقما با مواد پوسته‌ای حین صعود و جایگزینی آن در مناطق فرورانش باشد. نمونه‌های گرانیتوئیدی رودره بر اساس نمودارهای رده‌بندی زمین‌ساختی Nb نسبت به Y و Rb نسبت به Nb Y + Nb [۴۴] به ترتیب در گستره‌های VAG + COLG - Syn و VAG قرار می‌گیرند (شکل ۸ الف و ب).

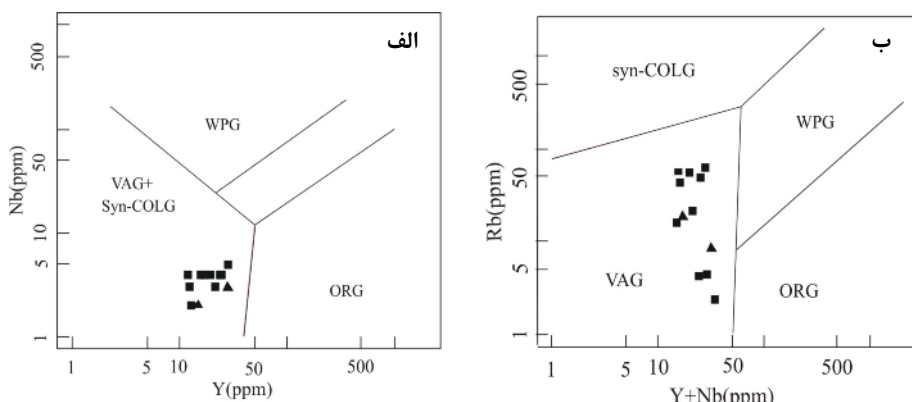
دامنه‌ی وسیع SiO₂ نمونه‌ها، A/CNK پایین، Na₂O > K₂O و بی‌亨جاری منفی Eu نیز وابستگی آن‌ها به کمان ماقمایی را تایید می‌کند [۳۲]. غنی‌شدگی نمونه‌ها از LREE و فقیرشدن آن‌ها از HREE بیانگر ماقماتیسم نفوذی متأللومین نوع I کمان‌های آتشفسانی حاشیه‌ی قاره‌های است که به فرورانش وابسته‌اند [۴۵، ۴۴، ۳۲]. ویژگی‌های یاد شده می‌توانند بیانگر ریشه‌گیری ماقما از یک پوسته‌ی اقیانوسی فرورانده

بحث و بررسی

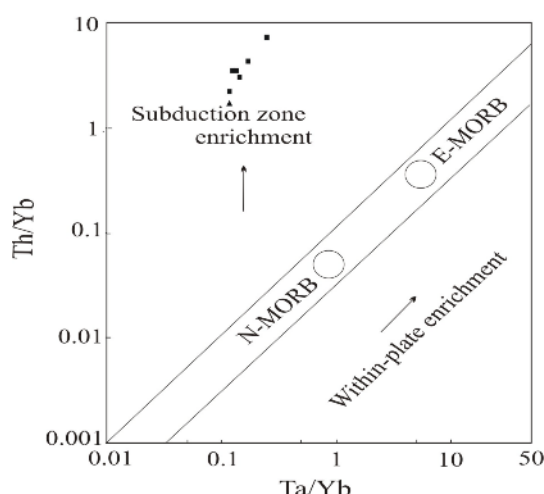
گرانیتوئیدها اصولاً در محیط‌های گوناگون و طی مراحل مختلف چرخه‌ی ویلسون نظیر نازک‌شدگی و کافتن (Rifting) لیتوسفر قاره‌ای، واگرایی لیتوسفر اقیانوسی، همگرایی بین لیتوسفر اقیانوسی و یا قاره‌ای و فروبریزی کوه‌زایی (Orogenic collapse) تشکیل می‌شوند [۴۳]. سنگ‌های گرانیتوئیدی رودره بر پایه‌ی ویژگی‌های صحراوی، سنگ‌شناسی و ژئوشیمیابی با توده‌های نفوذی حاشیه‌های قاره‌ای فعال هم‌خوانی دارند. بر پایه‌ی بررسی‌های فراوانی که صورت گرفته، معلوم شد که عناصر کمیاب می‌توانند برای جدایش محیط‌های زمین‌ساختی مختلف ماقماهای گرانیتوئیدی مورد استفاده قرار گیرند [۴۴، ۳۹]. سنگ‌های گرانیتوئیدی مورد بررسی تهی-شدگی از عناصر با شدت میدان بالا نظیر Y, P, Ti, Nb, Yb و Ta حدودی Ta را نشان می‌دهند که بیانگر وابستگی آن‌ها به

عناصر پتاسیم و به پیروی از آن روبیدیم و باریم به سمت گرانودیوریت و گرانیت بهدلیل آلودگی بیشتر ماقما با مواد پوسته‌ای است. حضور فیلیت‌های کرتاسه فوقانی در گسترهٔ مورد بررسی (شکل ۲) نقش موثری در این رویدادها داشته است. در نمودار جدایش زمین‌ساختی La/Yb نسبت به Th/Yb [۴۶، ۳۲] نیز نمونه‌های مورد بررسی در قلمرو گرانیت‌های کمان ماقمایی (حاشیه‌ی قاره‌ای فعل) قرار گرفته‌اند (شکل ۱۰). سنگ‌های گرانیتوئیدی رودره دارای Sr پایین ($\text{Sr/Y} = 110 - 261 \text{ ppm}$) و نسبت Sr/Y پایین بوده و در نمودار Sr/Y نسبت به Y [۴۸، ۴۷]، اغلب آن‌ها در گستره‌ی ماقماهای کمان ریشه گرفته از گوشه (سنگ‌های آهکی-قلیایی معمولی) واقع شده (شکل ۱۱) و بدین ترتیب با آدکیت‌ها تفاوت دارند.

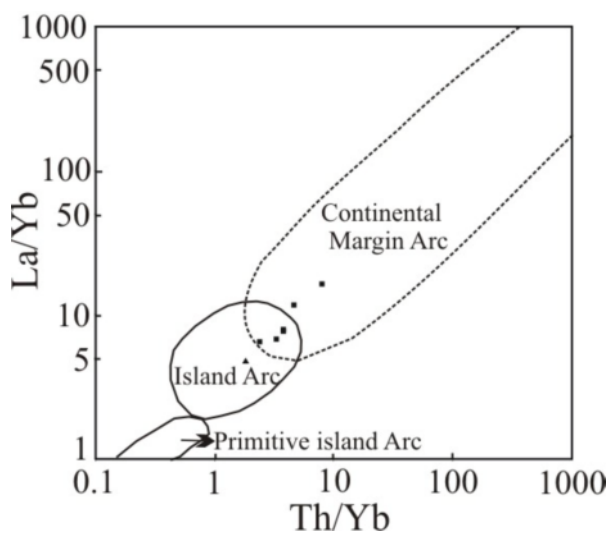
شده و گوهی گوشه‌ای دگرنهاد روی آن، تحمل فرایند تبلور تفریقی و نیز هضم و آلایش ماقما با مواد پوسته‌ای و باقی ماندن عناصر نادر خاکی سنگین در سنگ خاستگاه باشد. برای برداشت بهتر در مورد جایگاه زمین‌ساختی گرانیتوئید نوع I و آهکی-قلیایی رودره از نمودار Th/Yb نسبت به Ta/Yb [۴۵، ۳۲] استفاده شد. بر اساس این نمودار، گرانیتوئید مورد بررسی در گستره غنی‌شده زون فرورانش قرار می‌گیرد (شکل ۹). چنانکه پیش از این اشاره شد، عناصر لیتوفیل بزرگ یون از جمله عناصر متتحرک در شاره بوده و براحتی با شاره‌ی دگرنهاد ساز آزاد شده از پوسته اقیانوسی فرورونده، شسته شده و به گوشه‌ی خاستگاه ماقماهای کمان‌ها حمل می‌شوند. به‌نظر می‌رسد که غنی‌شده‌ی ماقمای سنگ‌های ماقمایی مورد بررسی از



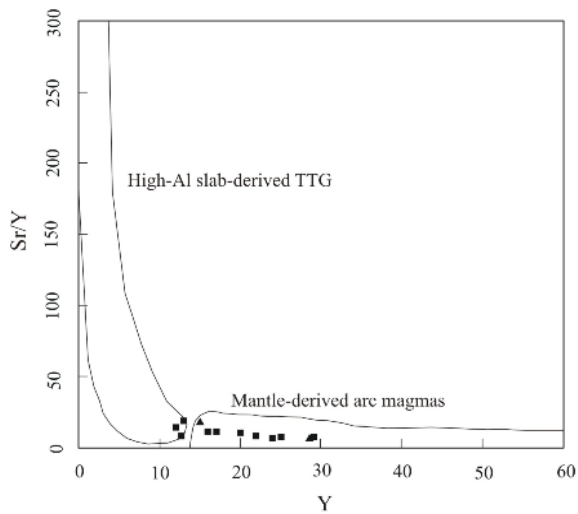
شکل ۸ نمودارهای (الف) تغییرات Nb نسبت به Y و (ب) تغییرات Rb نسبت به $\text{Y} + \text{Nb}$ برای تفکیک محیط زمین‌ساختی گرانیتوئیدها [۴۴] و موقعیت نمونه‌های گرانیتوئیدی رودره (نشانه‌ها شبیه شکل ۵).



شکل ۹ تمایز تکتونوماگمایی گرانیتوئید رودره با استفاده از نمودار Th/Yb نسبت به Ta/Yb [۴۵، ۳۲] (نشانه‌ها شبیه شکل ۵).



شکل ۱۰ نمونه‌های مورد بررسی در نمودار تمایز زمین‌ساختی La/Yb [۳۲، ۴۶] در قلمرو گرانیت‌های کمان ماگمایی (حاشیه‌ی قاره‌ای فعال) واقع شده‌اند (نشانه‌ها شبیه شکل ۵).



شکل ۱۱ نمودار Y/Sr نسبت به Y [۴۸، ۴۷] برای گرانیتوئید رودره (نشانه‌ها شبیه شکل ۵).

ادخال‌های زیرکن و آپاتیت درون بلورهای بیوتیت، وجود بافت گرافیک و نبود مسکوویت و کانی‌های با خاستگاه دگرگونی نظیر گارنت و سیلیکات‌های آلومین، نیز مؤید ویژگی‌های نوع I برای توده گرانیتوئیدی رودره هستند. ویژگی‌های ژئوشیمیایی عناصر اصلی نیز بیانگر وابستگی این سنگ‌ها به نوع I است. دامنه‌ی وسیع SiO_2 نمونه‌ها، $\text{A/CNK} > \text{Na}_2\text{O} > \text{K}_2\text{O}$ و Eu / Eu^* وابستگی آن‌ها به کمان ماگمایی وابسته به فرورانش را تایید می‌کند. به نظر می‌رسد که غنی‌شدگی ماگمای سنگ‌های مورد بررسی از عناصر پتاسیم و به پیروی از

برداشت بر اساس بررسی‌های کانی‌شناسی و سنگ‌شناسی، توده‌ی گرانیتوئیدی رودره ترکیب تونالیت تا گرانوودیوریت و گرانیت دارد. وجود برونیوم‌های ماگمایی مافیک، تزریق مذاب گرانیتی درون شکستگی‌های برونیوم‌های بزرگ و وجود رخساره‌های حاشیه‌ای با ترکیب ریوداسیت در پیرامون توده‌ی گرانیتوئیدی، از جمله شواهد صحرای نشان دهنده‌ی خاستگاه آذرین توده‌ی مورد بحث‌اند. حضور ارتوکلاز صورتی، هورنبلندها، بیوتیت به رنگ قهوه‌ای روشن تا قهوه‌ای تیره، مگنتیت، اسفن اولیه،

- [9] Kaygusuz A., Siebel W., Sen C., Satir M., “*Petrochemistry and petrology of I-type granitoids in an arc setting: the composite Torul pluton, Eastern Pontides, NE Turkey*”, International Journal of Sciences97(2008) 739-764.
- [10] Barbarin B., “*A review of the relationships between granitoid types, their origins and their geodynamic environments*”, Lithos46 (1999) 605–626.
- [۱۱] قاسمی ح., صادقیان م., کرد م., خانعلی زاده ع., ”سازوکار شکل گیری پاتولیت گرانیتوئیدی راهدان، جنوب شرق ایران”， مجله بلورشناسی و کانی شناسی ایران، شماره ۴(۱۳۸۸) ص ۵۷۸-۵۵۱.
- [۱۲] موحد اول، ح., امامی، م. ه.” نقشه زمین‌شناسی ۱/۱۰۰۰۰۰ مختاران”， سازمان زمین‌شناسی کشور، ۱۹۷۸.
- [۱۳] محمدی سید سعید، ”پتروگرافی و پتروژنیز سنگ‌های گرانیتوئیدی نوار افیولیتی شرق ایران (ناحیه بیرون‌نهادان)”， رساله دکتری، دانشگاه شهید بهشتی تهران(۱۳۸۶) ۲۶۳ صفحه.
- [14] Tirrul R., Bell I.R., Griffis R.J., Camp V.E., “*The Sistan suture zone of eastern Iran*”, Geological Society of America Bulletin94(1983)134-150.
- [15] Berberian M., King G.C.P., “*Towards a paleogeography and tectonic evolution of Iran*”, Canadian Journal of Earth Sciences 18(1981)210–265.
- [۱۶] امامی م. ه., ”ماگماتیسم در ایران”， سازمان زمین‌شناسی و اکتشافات معدنی کشور، کتاب شماره ۲۱(۱۳۷۹) ۶۰۸ صفحه.
- [17] Arsalan M., Aslan Z., “*Mineralogy, petrography and whole-rock geochemistry of the Tertiary granitic intrusions in the Eastern Pontides, Turkey*”, Journal of Asian Earth Sciences 27(2006) 177-193.
- [18] Whalen J. B., Chappell B.W., “*Opaque mineralogy and mafic mineral chemistry of I- and S-type granites of the Lachlan fold belt, southeast Australia*”, American Mineralogist73 (1988) 281-296.
- [19] Chappell B.W., White A.J.R., “*I-and S-type granites in the Lachlan Fold Belt*”, Transactions of the Royal Society of Edinburgh:Earth Sciences83(1992) 1-26.

آن رویدیم و باریم به سمت گرانودیوریت و گرانیت بهدلیل آلودگی بیشتر مacula با مواد پوسته‌ای باشد. بهمنظور برداشت مطمئن در مورد خاستگاه گرانیتوئید رودره نیاز به بررسی‌های ایزوتوپی است.

مراجع

- [1] DePaolo DJ., “*Trace element and isotopic effects of combined wallrock assimilation and fractional crystallization*”, Earth and Planetary Sciences Letter 53(1981) 189–202.
- [2] Zorpi MJ, Coulon C, Orisini JB., “*Hybridization between felsic and mafic magmas in calc-alkaline granitoids: a case study in northern Sardinia, Italy*”, Chemical Geology 92(1991) 45–86.
- [3] Roberts MP, Clemens JD., “*Origin of high-potassium, calc-alkaline, I-type granitoids*”, Geology 21(1993) 825–828.
- [4] Galan G, Pin C, Duthon JL., “*Sr–Nd isotopic record of multistage interactions between mantle derived magmas and crustal components in a collision context: the ultramafic-granitoid association from Vivero (Hercynian belt, NW Spain)*”, Chemical Geology 131 (1996) 67–91.
- [5] Thompson AB, Connolly JAD., “*Melting of the continental crust: some thermal and petrological constraints on anatexis in continental collision zones and other tectonic settings*”, Journal of Geophysical Researches 100(1995) 15565–15579.
- [6] Altherr R, Henjes-Kunst F, Langer C, Otto J., “*Interaction between crustal-derived felsic and mantle-derived mafic magmas in the Oberkirch pluton (European Variscides, Schwarzwald, Germany)*”, Contribution to Mineralogy and Petrology 137(1999)304–322.
- [7] Altherr R, Holl A, Hegner E, Langer C, Kreuzer H., “*High potassium, calc-alkaline I-type plutonism in the European Variscides: northern Vosges (France) and northern Schwarzwald (Germany)*”, Lithos 50(2000) 51–73.
- [8] Altherr R, Siebel W., “*I-type plutonism in a continental back-arc setting: Miocene granitoids and monzonites from the central Aegean Sea, Greece*”, Contribution to Mineralogy and Petrology 143(2002) 397–415.

- I-type granitoids in the Karaburun Peninsula, West Turkey: Evidence for Triassic continental arc magmatism following closure of the Palaeotethys*”, Island arc 17 (2008) 394-418.
- [33] Rutter M.J., Wyllie P.J., “*Melting of vapour-absent tonalite at 10 kbar to simulate dehydration melting in the deep crust*”, Nature 331 (1988) 159–160.
- [34] Rushmer T., “*Partial melting of two amphibolites: contrasting experimental results under fluid-absent conditions*”, Contribution to Mineralogy and Petrology 107(1991) 41–59.
- [35] Rapp R.P., Watson E.B., Miller C.F., “*Partial melting of amphibolite eclogite and the origin of Archean trondhjemites and tonalites*”, Precambrian Research 51(1991) 1–25.
- [36] Sun SS, McDonough WF., “*Chemical and isotope systematics of oceanic basalts; implication for mantle compositions and processes. In: Saunders AD, Nory MJ (eds) Magmatism in the ocean basins*”, Geological Society London, Special Publication 42(1989)313–345.
- [37] Keppler H., “*Constraints from partitioning experiments on the composition of subduction Zone fluid*”, Nature380 (1996) 237-240.
- [38] Agostini S., Doglioni C., Innocenti F., Manetti P., Tonarini s., Savascin M. Y., “*The transition from subduction-related to intraplate Neogene magmatism in the Western Anatolia and Aegean area, in Beccaluva, L., Bianchini, G., and Wilson, M., eds., Cenozoic Volcanism in the Mediterranean Area*”, Geological Society of America. Special Paper 418 (2007) 1-15.
- [39] Harris N.B.W., Pearce J.A., Tindle A.G., “*Geochemical characteristics of collision-zone magmatism. In: Coward, M.P., Ries, A.C. (Eds.), Collision Tectonics*”, Geological Society London, Special Publication 19(1986) 67–81.
- [40] Ahmadi Khalaji A., Esmaeily D., Valizadeh M.V., Rahimpour-Bonab H., “*Petrology and geochemistry of the granitoid complex of Boroujerd, Sanandaj-Sirjan Zone, Western Iran*”, Journal of Asian Earth Sciences 29 (2007) 859–877.
- [41] Rollinson H.R., “*Using Geochemical Data: Evaluation, Presentation, Interpretation*”, Longman (1993), 352 P.
- [20] Eggleton R. A., Banfield J. F., “*The alteration of granitic biotite to chlorite*”, American Mineralogist70 (1985) 902-910.
- [21] Brimhall G. H., Agee C., Stoffregen R., “*The hydrothermal conversion of hornblende to biotite*”, Canadian Mineralogist 23(1985) 369-379.
- [22] Fenn Ph. M., “*On the origin of graphic granite*”, American Mineralogist 71(1986) 325-330.
- [23] Barbarin B., “*Mafic magmatic enclaves and mafic rocks associated with some granitoids of the central Sierra Nevada batholith, California: nature, origin, and relations with the hosts*”, Lithos 80(2005) 155-177.
- [24] Kaygusuz A., Aydinçakır E., “*Mineralogy, whole-rock and Sr–Nd isotope geochemistry of mafic microgranular enclaves in Cretaceous Dagbasi granitoids, Eastern Pontides, NE Turkey: Evidence of magma mixing, mingling and chemical equilibration*”, Chemie der Erde 69 (2009) 247–277.
- [25] Middlemost E.A.K., “*Naming materials in the magma/ igneous rock system*”, Earth Sciences Review. 37(1994) 215–224.
- [26] Irvine T.N., Baragar W.R.A., “*A guide to the chemical classification of the common volcanic rocks*”, Canadian journal of earth sciences8 (1971) 523-548.
- [27] Maniar P.D., Piccoli P.M., “*Tectonic discrimination of granitoids*”, Geological Society of America Bulletin 101(1989) 635-643.
- [28] Chappell B.W., White A.J.R., “*Two contrasting granite types*”, Pacific geology 8(1974) 173-174.
- [29] Barbarin B., “*A review of the relationships between granitoid types, their origins and their geodynamic environments*”, Lithos46 (1999) 605-626.
- [30] Tatsumi Y., Takahashi T., “*Operation of subduction factory and production of andesite*”, Journal of Mineralogical and Petrological sciences101(2006)145-153.
- [31] Chappell B.W., White A.J.R., “*Two contrasting granite types: 25 years later*”, Australian Journal of Earth Sciences48(2001) 489-499.
- [32] Erkül S.T., Sözbilir R. H., Erkül F. T., Helvacı C., Ersoy Y., Sümer O., “*Geochemistry of*

- [45] Wilson M., “*Igneous Petrogenesis*”, Springer Verlag(2007) 466 p.
- [46] Condie K. C., “*Geochemical changes in basalts and andesites across the Archean–Proterozoic boundary: Identification and significance*”, *Lithos* 23(1989)1–18.
- [47] Martin H., “*The mechanism of petrogenesis of the Archean continental crustcomparison with modern processes*”, *Lithos* 30(1993)373–388.
- [48] Rajaieh M., Khalili M., Richards I., “*The significance of mafic microgranular enclaves in the petrogenesis of the Dehno Complex, Sanandaj–Sirjan belt, Iran*”, *Journal of Asian Earth Sciences* 39 (2010) 24–36.
- [42] Gencalioglu Kuscu G., Geneli F., “*Review of post-collisional volcanism in the central Anatolian volcanic province(Turkey), with special reference to the Tepekoval volcanic complex*”, *International Journal of Earth Sciences* 99 (2010) 593–621.
- [43] Li X.H., Li Z.X., Ge W., Zhou H., Li W., Liu Y., Wingate M.T.D., “*Neoproterozoic granitoids in South China: crustal melting above a mantle plume at ca. 825 Ma?*”, *Precambrian research* 122 (2003) 45–83.
- [44] Pearce J.A., Harris N.B.W., Tindle A.G., “*Trace element discrimination diagrams for the tectonic interpretation of granitic rocks*”, *Journal of petrology* 25 (1984) 956–983.